

07,10

## Упругое взаимодействие точечных дефектов с краевой дислокационной петлей в формализме функций Грина

© П.Н. Остапчук, О.Г. Троценко

Институт электрофизики и радиационных технологий НАН Украины,  
Харьков, Украина

E-mail: ostapchuk@kipt.kharkov.ua

(Поступила в Редакцию 1 февраля 2016 г.

В окончательной редакции 22 февраля 2016 г.)

Получены универсальные выражения для компонент тензорной функции Грина упругоанизотропной гексагональной среды. В отличие от классических выражений (метод Лифшица-Розенцвейга) они не содержат неопределенности типа 0/0 при переходе к изотропному приближению и справедливы для любого гексагонального кристалла. В качестве примера их использования рассчитаны поля смещений и деформаций, создаваемые краевой дислокационной петлей, лежащей в базисной плоскости такого кристалла.

### 1. Введение

Предположение об упругом взаимодействии между дислокациями и точечными дефектами (ТД) кристалла (вакансиями, собственными междоузельными атомами, атомами инертных газов и примесей) оказалось очень полезным во многих задачах теории радиационного материаловедения. Например, именно оно, по современным представлениям, является причиной явления радиационного распухания облучаемых металлов и сплавов [1], а также основной движущей силой микроструктурной эволюции материала под облучением, проявляющейся, в частности, в зарождении и росте дислокационных петель, ведущих в конечном счете к радиационному упрочнению конструкционных материалов ядерных реакторов [2]. Согласно Эшелби [3], энергия взаимодействия между двумя системами внутренних напряжений  $S(\mathbf{u}^S, u_{ij}^S, \sigma_{ij}^S)$  и  $T(\mathbf{u}^T, u_{ij}^T, \sigma_{ij}^T)$  в упругой среде, ограниченной поверхностью  $\Sigma_0$ , может быть представлена в виде интеграла по поверхности  $\Sigma$ , разделяющей эти системы

$$E_{\text{int}}(S, T) = \int_{\Sigma} (\sigma_{ij}^S u_i^T - \sigma_{ij}^T u_i^S) dS_j, \quad (1)$$

где  $n_j$  в соотношении  $dS_j = n_j dS$  — внешняя нормаль к поверхности  $\Sigma$ . При этом источники системы  $S$  целиком лежат внутри поверхности  $\Sigma$ , источники другой,  $T$  — вне ее. Если можно найти фиктивное распределение объемных сил  $f_i^S$  внутри  $\Sigma$ , которое создает такое же напряжение на поверхности  $\Sigma$  и вне ее, как и действительный источник внутреннего напряжения, находящийся внутри  $\Sigma$ , то формулу (1) можно свести к объемному интегралу [3]

$$E_{\text{int}}(S, T) = - \int f_i^S u_i^T dV, \quad (2)$$

который берется по области, расположенной внутри  $\Sigma$ . Пусть система  $S$  обусловлена точечным дефектом.

В теории упругости ТД описывается объемным распределением дипольных сил без момента, т.е. выражением вида

$$f_i^S(\mathbf{r}) = -A_{ij} \nabla_j \delta(\mathbf{r} - \mathbf{r}_0), \quad A_{ij} = A_{ji}. \quad (3)$$

Тогда для энергии взаимодействия ТД с полем  $T$  имеем

$$E_{\text{int}}(S, T) = -A_{ij} u_{ij}^T, \quad (4)$$

а в случае центра дилатации  $A_{ij} = K \Delta V \delta_{ij}$ , и дислокации ( $T = D$ ), выражение (4) принимает стандартный вид

$$E_{\text{int}}(\mathbf{r}) = -K \Delta V \text{Spr} u_{ij}^D, \quad (5)$$

где  $K$  — модуль всестороннего сжатия среды;  $\Delta V$  — изменение объема среды, вызванное наличием в ней одного ТД; величина  $\text{Spr} u_{ij}^D$  вычисляется в точке нахождения ТД. Отсюда задача теории — это расчет упругого поля дислокации  $u_{ij}^D$ . Его можно проводить двояким образом. Во-первых, искать неоднозначные решения уравнений равновесия в терминах смещений. Во-вторых, использовать тензорную функцию Грина  $G_{ik}$  (ТФГ) уравнений равновесия данной упругой среды, т.е. функцию, определяющую  $i$ -ю компоненту смещения  $u_i$ , созданного в неограниченной среде, сосредоточенной в начале координат единичной силой, которая направлена вдоль оси  $x_k$  [4–7]. Знание ТФГ дает возможность вычислить смещения, а значит и деформации, создаваемые дислокацией любой формы в любой анизотропной упругой среде, согласно классической формуле

$$u_i^D(\mathbf{r}) = C_{jklm} b_m^D \int_{S_D} n_l^D \frac{\partial G_{ij}(\mathbf{r} - \mathbf{r}')}{\partial x_k} dS'. \quad (6)$$

Обозначения в (6) следующие:  $C_{jklm}$  — тензор упругих модулей среды, моделирующей кристалл;  $b_m^D$  —  $m$ -я компонента вектора Бюргера дислокации;  $n_l^D$  —  $l$ -я компонента вектора нормали к произвольной поверхности  $S_D$ , опирающейся на дислокационную линию;  $\mathbf{r}$  — координата точки наблюдения;  $\mathbf{r}'$  — координата точки

поверхности  $S^D$ ;  $G_{ij}$  — искомая ТФГ или просто тензор Грина среды.

Основная цель работы — вычисление по формулам (5), (6) энергии упругого взаимодействия ТД с краевой дислокационной петлей, расположенной в базисной плоскости кристалла гексагональной сингонии (в частности, циркония). Промежуточная — на примере краевой прямолинейной дислокации и краевой петли показать, как формализм функций Грина „работает“ в изотропном приближении. И хотя результаты в последнем случае хорошо известны, получены они путем решения уравнений равновесия. Поэтому с точки зрения методологии представляется логичным показать, что дает применение ТФГ.

## 2. Упругое поле прямолинейной краевой дислокации в методе ТФГ

Рассмотрим прямоугольную краевую петлю, лежащую в плоскости  $zy$  и имеющую размеры по оси  $y$  от 0 до  $L$ , по оси  $z$  от  $-L$  до  $L$ . Вектор Бюргера петли направлен вдоль положительного направления оси  $x$   $\mathbf{b}(b, 0, 0)$ , а нормаль к плоскости петли — вдоль отрицательного направления оси  $x$ ;  $S_D$  — плоскость петли. Тогда в изотропном приближении

$$C_{ijkl} = \mu \left[ \frac{2\nu}{1-2\nu} \delta_{jk} \delta_{lm} + \delta_{jl} \delta_{km} + \delta_{jm} \delta_{kl} \right],$$

$$G_{ij}(\mathbf{r}) = \frac{1}{8\pi\mu} \frac{1}{2(1-\nu)} [(3-4\nu)\delta_{ij} + n_i n_j] \frac{1}{r} \quad (7)$$

для компоненты смещений  $u_x(\mathbf{r})$  имеем:

$$u_x(\mathbf{r}) = \frac{b}{8\pi(1-\nu)} x \int_0^L dy' \int_{-L}^L dz' \left( (1-2\nu) \frac{1}{r^3} + 3 \frac{x^2}{r^5} \right)$$

$$\equiv \frac{b}{4\pi(1-\nu)} [(1-2\nu)I_1 + I_2], \quad (8)$$

где  $r = \sqrt{x^2 + (y-y')^2 + (z-z')^2}$ ; индекс  $\beta = y$ ;  $z$ ;  $\nu$  — коэффициент Пуассона,  $\mu$  — модуль сдвига. Интегралы по  $z'$  в (8) табличные, но достаточно громоздкие. Их численный анализ показывает, что с увеличением параметра  $L$ , т.е. в пределе прямолинейной дислокации, во-первых, как и должно быть, исчезает зависимость от переменной  $z$ , а во-вторых,

$$I_1 \rightarrow x \int_0^L dy' \frac{1}{[x^2 + (y-y')^2]} \rightarrow \arctg\left(\frac{y}{x}\right) + \arctg\left(\frac{L}{x}\right),$$

$$I_2 \rightarrow 2x^3 \int_0^L dy' \frac{1}{[x^2 + (y-y')^2]^2}$$

$$\rightarrow \left[ \arctg\left(\frac{y}{x}\right) + \arctg\left(\frac{L}{x}\right) + \frac{xy}{x^2 + y^2} \right].$$

В результате в пределе  $L \rightarrow \infty$

$$u_x(\mathbf{r}) \rightarrow \frac{b}{2\pi} \left[ \arctg\left(\frac{y}{x}\right) + \frac{1}{2(1-\nu)} \frac{xy}{x^2 + y^2} \right] + \frac{b}{4}. \quad (9)$$

А поскольку смещение определяется с точностью до константы, пренебрегая последней, получаем искомое стандартное выражение [4,5]. Аналогичные вычисления для компоненты смещений  $u_y(\mathbf{r})$  дают следующий результат

$$u_y(\mathbf{r}) \rightarrow -\frac{b}{2\pi} \left[ \frac{(1-2\nu)}{4(1-\nu)} \ln(x^2 + y^2) + \frac{1}{4(1-\nu)} \frac{2x^2}{x^2 + y^2} \right]$$

$$+ \frac{b}{8\pi} \frac{(1-2\nu)}{(1-\nu)} \ln L. \quad (10)$$

Формально при  $L \rightarrow \infty$  мы имеем расходимость, однако она не физична, Это просто большая константа, которую следует отбросить по той же причине, что и выше. Остальная часть (10) имеет стандартный вид [4,5]. Окончательно из (5), (9) и (10) имеем

$$Sp u_{ij}^D = -\frac{b}{2\pi} \frac{1-2\nu}{(1-\nu)} \frac{y}{x^2 + y^2},$$

$$E_{int} = \frac{\mu b(1+\nu)\Delta V}{3\pi(1-\nu)} \frac{y}{x^2 + y^2}. \quad (11)$$

Конечно, нового результата здесь нет, однако способ получения уже известного не стандартен.

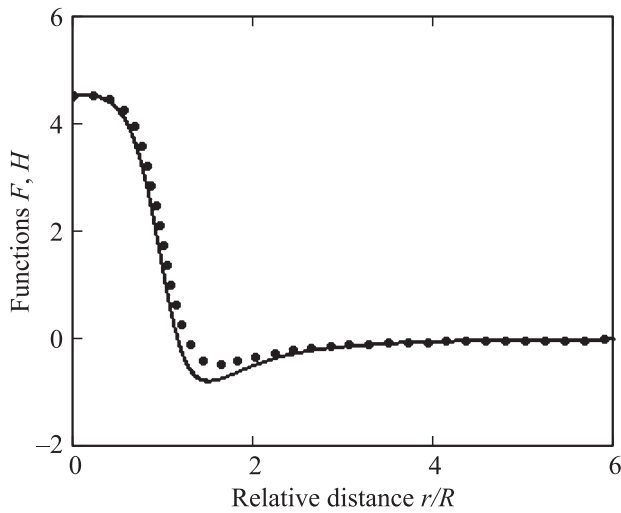
## 3. Упругое поле краевой дислокационной петли в методе ТФГ

Рассмотрим в бесконечной упругоизотропной среде краевую дислокацию Вольтерра, линия которой имеет форму окружности, а вектор Бюргера перпендикулярен плоскости дислокации. В цилиндрических координатах  $(\rho, \varphi, z)$  дислокационная петля лежит в плоскости  $z = 0$ , имеет форму окружности с радиусом  $R$  и центром в начале координат, а ее вектор Бюргера имеет только  $z$ -компоненту  $(0, 0, b)$ . Поскольку задача аксиально симметрична, угловая зависимость отсутствует, и напряженное состояние однозначно определяется четырьмя компонентами тензора напряжений:  $\sigma_{rr}$ ,  $\sigma_{\varphi\varphi}$ ,  $\sigma_{zz}$ ,  $\sigma_{rz}$ . Аналитическое решение уравнений равновесия методом преобразований Ханкеля было получено в работе [8], и в безразмерных переменных  $\rho = r/R$ ;  $\xi = z/R$  искомое выражение для суммы диагональных элементов тензора деформации имеет вид

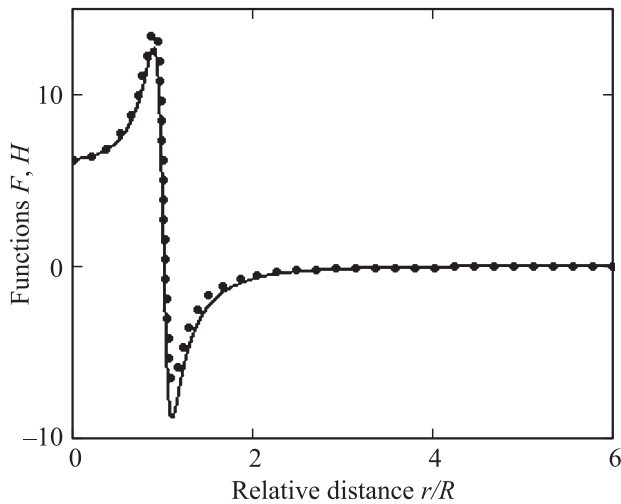
$$Sp u_{ij} = \frac{b}{4\pi R} \frac{1-2\nu}{1-\nu} F(\rho, \xi),$$

$$F \equiv \frac{2}{\sqrt{(1+\rho)^2 + \xi^2}} \left[ \frac{1-\rho^2 - \xi^2}{(1-\rho)^2 + \xi^2} E(m) + K(m) \right], \quad (12)$$

где  $E(m)$ ,  $K(m)$  — полные эллиптические интегралы первого и второго рода;  $m \equiv \frac{4\rho}{(1+\rho)^2 + \xi^2}$ . Аналогичное



**Рис. 1.** Функции  $F$  и  $H$ , согласно (12) и (13), в зависимости от относительного расстояния  $\rho = r/R$  на плоскости  $z = 0.5R$ . Сплошная линия — функция  $F$ , пунктирная линия — функция  $H$ .



**Рис. 2.** Функции  $F$  и  $H$  согласно (12) и (13) в зависимости от относительного расстояния  $\rho = r/R$  на плоскости  $z = 0.1R$ . Сплошная линия — функция  $F$ , пунктирная линия — функция  $H$ .

выражение в методе функций Грина следующее:

$$\begin{aligned}
 \text{Sp}u_{ij} &= \frac{b}{4\pi R} \frac{1-2\nu}{1-\nu} H(\rho, \xi), \\
 H &\equiv - \int_0^{2\pi} d\varphi' \int_0^1 \left(1 - \frac{3\xi^2}{|\mathbf{r} - \mathbf{r}'|^2}\right) \frac{\rho' d\rho'}{|\mathbf{r} - \mathbf{r}'|^3}, \quad (13)
 \end{aligned}$$

где  $|\mathbf{r} - \mathbf{r}'|^2 = \rho^2 + \xi^2 - 2\rho\rho' \cos(\varphi - \varphi') + \rho'^2$ . Показать аналитически, что (13) сводится к эллиптическим функциям (12) не удалось, хотя один раз проинтегрировать, например, по  $\rho'$  проблем не представляет. Поэтому сравнивать (12) и (13) пришлось численно. Результаты

такого сравнения представлены на рис. 1, 2. На них приведены кривые зависимости функций  $F$  и  $H$  согласно формулам (12) и (13) соответственно от относительного расстояния  $\rho$  для двух плоскостей  $z = 0.5R$  и  $z = 0.1R$ . Видно, что качественно они совпадают. Небольшие количественные отличия, возможно, связаны с использованием рядов для аппроксимации эллиптических функций. Так, для простоты численных вычислений и с учетом неравенства  $m \leq 1$ , для  $E(m)$  и  $K(m)$  использовались их разложения в ряд до слагаемых порядка  $m^8$

$$\begin{aligned}
 E(m) &\approx \frac{\pi}{2} \left[ 1 - \left(\frac{1}{2}\right)^2 \frac{m}{1} - \left(\frac{1 \cdot 3}{2 \cdot 4}\right)^2 \frac{m^2}{3} - \dots \right], \\
 K(m) &\approx \frac{\pi}{2} \left[ 1 + \left(\frac{1}{2}\right)^2 m + \left(\frac{1 \cdot 3}{2 \cdot 4}\right)^2 m^2 + \dots \right].
 \end{aligned}$$

Как и должно быть в случае аксиальной симметрии задачи, результат интегрирования (13) не зависит от угла  $\varphi$ , поэтому в расчетах его положили равным нулю. Как видно из рисунков, взаимодействие меняет знак по мере удаления от центра петли, т.е. в любой плоскости  $z = \text{const}$  для ТД любого типа всегда есть область притяжения и отталкивания. Однако характер взаимодействия меняется по мере приближения ТД к плоскости петли. Так, на рис. 1 ( $z = 0.5R$ ) взаимодействие — это плавно меняющаяся функция расстояния до оси петли с широким и „мелким“ минимумом, в то время как на рис. 2 ( $z = 0.1R$ ) имеет место скачок в области  $r \approx R$ , т.е. в области ядра дислокации.

И последнее замечание. Круговая форма петли была выбрана лишь для сравнения с имеющимися аналитическими результатами. Но это может быть и эллипс. Отличие только в том, что интегрирование в (13) будет по площади эллипса и все. А вот можно ли решить уравнения равновесия для него, это еще вопрос.

#### 4. Упругое поле краевой дислокационной петли, лежащей в базисной плоскости ГПУ-металла

Далее рассматривается та же самая краевая петля, лежащая в базисной плоскости (в данном случае  $z' \equiv x'_3 = 0$ ) ГПУ-металла, характеризующегося в декартовой системе координат тензором упругих модулей вида

$$\begin{aligned}
 C_{jklm} &= a\delta_{jk}\delta_{lm} + b(\delta_{jl}\delta_{km} + \delta_{jm}\delta_{kl}) \\
 &+ \gamma\delta_{j3}\delta_{k3}\delta_{l3}\delta_{m3} + \chi(\delta_{j3}\delta_{k3}\delta_{lm} + \delta_{jk}\delta_{l3}\delta_{m3}) \\
 &+ \rho(\delta_{jm}\delta_{k3}\delta_{l3} + \delta_{jl}\delta_{k3}\delta_{m3} + \delta_{kl}\delta_{j3}\delta_{m3} + \delta_{km}\delta_{j3}\delta_{l3}), \quad (14)
 \end{aligned}$$

$$a = C_{12}, \quad b = \frac{1}{2}(C_{11} - C_{12}), \quad \chi = C_{13} - C_{12},$$

$$\rho = C_{55} - \frac{1}{2}(C_{11} - C_{12}), \quad \gamma = C_{11} + C_{33} - 4C_{44} - 2C_{13},$$

где  $C_{11}, C_{12}, C_{13}, C_{33}, C_{44} = C_{55}$  — минимальное число отличных от нуля упругих модулей; а ось  $x_3$  совпадает с

направлением гексагональной оси кристалла. Примером объекта такого рода могут служить так называемые *c*-петли  $\mathbf{b} = 1/2[0001]$ , наблюдавшиеся в цирконии при электронном облучении при  $T = 715$  К. Что касается функции Грина, то регулярный метод ее построения для любой упругоанизотропной среды был предложен Лифшицем и Розенцвейгом в работе [9]. Было показано, что задача, в принципе, сводится к вычетам и подразумевает нахождение корней (полюсов) некоторого алгебраического уравнения шестой степени. Для большинства ГПУ-металлов (Zr, Mg, Co, Ti, Hf, Y, Sc, Tl, Tc, Ru, Re, Os) искомые полюса чисто мнимые, а для Zn, Cd и Be — комплексные. Для мнимых полюсов ТФГ получена в [9], для комплексных — в [10]. Однако в обеих работах результат содержит один и тот же недостаток — неопределенность типа 0/0 при переходе к изотропии. В данной работе предлагается универсальное выражение для тензорной функции Грина, справедливое для любого кристалла гексагональной сингонии и, в отличие от классиков [9], не содержащее указанной неопределенности. Поскольку оно достаточно громоздкое и содержит много дополнительных обозначений, представляется целесообразным кратко изложить идею и основные моменты его получения.

Смещение  $\mathbf{u}(\mathbf{r})$ , возникающее в среде, под действием приложенной в начале координат точечной силы  $\mathbf{f}$ , удовлетворяет системе уравнений

$$C_{jklm} \frac{\partial^2 u_l(\mathbf{r})}{\partial x_k \partial x_m} = -\delta(\mathbf{r}) f_j, \quad u_i(\infty) \rightarrow 0, \quad (15)$$

Тензорная функция Грина определяется соотношением

$$u_l(\mathbf{r}) = \int d^3 r' G_{ln}(\mathbf{r} - \mathbf{r}') f_n \delta(\mathbf{r}') = G_{ln}(\mathbf{r}) f_n, \quad (16)$$

т.е. является решением системы

$$C_{jklm} \frac{\partial^2 G_{ln}(\mathbf{r})}{\partial x_k \partial x_m} = -\delta(\mathbf{r}) \delta_{jn}, \quad G_{ln}(\infty) \rightarrow 0. \quad (17)$$

Поэтому, найдя компоненту смещения  $u_l(\mathbf{r})$  и заменив в ней  $f_j$  на  $\delta_{jn}$ , мы получим соответствующую компоненту  $G_{ln}(\mathbf{r})$  ТФГ (латинские индексы принимают значения 1, 2, 3). Это идея.

Решение (15) находится с помощью преобразования Фурье, с использованием известного разложения  $\delta$ -функции Дирака

$$u_l(\mathbf{r}) = \int V_l(\boldsymbol{\xi}) \exp(i\mathbf{r}\boldsymbol{\xi}) d^3 \boldsymbol{\xi},$$

$$\delta(\mathbf{r}) = \frac{1}{(2\pi)^3} \int \exp(i\mathbf{r}\boldsymbol{\xi}) d^3 \boldsymbol{\xi}. \quad (18)$$

Подстановка (18) в (15) дает для амплитуд Фурье  $V_l(\boldsymbol{\xi})$  систему алгебраических уравнений, формальное решение которой имеет вид

$$V_l(\boldsymbol{\xi}) = \frac{\Delta_{lj}(\mathbf{e})}{\xi^2 \Delta(\mathbf{e})} \frac{f_j}{(2\pi)^3}, \quad (19)$$

где  $\mathbf{e} = \boldsymbol{\xi}/\xi$  — единичный вектор в пространстве векторов  $\boldsymbol{\xi}$ ;  $\Delta(\boldsymbol{\xi})$  — определитель системы;  $\Delta_{lj}(\boldsymbol{\xi})$  — его

алгебраические дополнения. В силу действительности выражения (19), интеграл (18) можно представить следующим образом:

$$u_l(\mathbf{r}) = \int V_l(\boldsymbol{\xi}) \cos(\mathbf{r}\boldsymbol{\xi}) d^3 \boldsymbol{\xi}$$

$$= \frac{1}{(2\pi)^3} \int \frac{\Delta_{lj}(\mathbf{e}) f_j}{\Delta(\mathbf{e})} \left( \int_0^\infty \cos\{r\xi(\mathbf{n}\mathbf{e})\} d\xi \right) d\Omega(\mathbf{e}), \quad (20)$$

где второе интегрирование проводится по полному телесному углу в пространстве  $\boldsymbol{\xi}$ , а  $\mathbf{n} = \mathbf{r}/r$  — единичный вектор в пространстве  $\mathbf{r}$ . Техника вычисления интеграла (20) подробно изложена в оригинальной статье Лифшица-Розенцвейга, поэтому сразу приведем результат

$$u_l(\mathbf{r}) = \frac{2\pi}{r} \int_{-\infty}^{+\infty} \frac{\Delta_{lj}(z)}{\Delta(z)} \frac{f_j}{(2\pi)^3} dz. \quad (21)$$

В общем случае  $\Delta(z)$ ,  $\Delta_{lj}(z)$  — полиномы шестой и четвертой степени комплексной переменной  $z$  соответственно, коэффициенты которых выражаются через полярные углы  $\theta$  и  $\varphi$  вектора  $\mathbf{n}$  в кристаллографической системе осей и упругие модули кристалла. Интеграл в (21) берется с помощью вычетов подынтегральной функции относительно полюсов, расположенных в верхней полуплоскости комплексной переменной  $z$ . Поэтому формально задача сводится к нахождению корней уравнения шестой степени  $\Delta(z) = 0$ . Для ГПУ-кристаллов искомые полюса являются корнями квадратного и биквадратного уравнений вида

$$\frac{1}{2} A(\theta) z^4 + B(\theta) z^2 + k = 0, \quad P(\theta) z^2 + b = 0,$$

$$A(\theta) = 2(k + l \sin^2 \theta - m \sin^4 \theta), \quad B(\theta) = (l \sin^2 \theta + 2k),$$

$$P(\theta) = b + \rho \sin^2 \theta, \quad (22)$$

а константы  $k, m, l$  даются выражениями

$$k = (a + 2b)(b + \rho), \quad m = (a + b - \rho)\gamma - (\chi + 2\rho)^2,$$

$$l = (a + 2b)\gamma + (2b - \chi)(\chi + 2\rho). \quad (23)$$

Коэффициенты уравнений (22) вещественны, поэтому их корни являются попарно сопряженными, и вклад в интеграл (21) дают только три из них  $z_{1,2,3}$ . Наиболее просто результат выглядит для компонент ТФГ  $G_{3k}(\mathbf{r})$

$$G_{3k}(\mathbf{r}) = \frac{2i}{(z_1 + z_2)A(n_3^2)} \left\{ \frac{a + b + \chi + \rho}{4\pi} (\delta_{1k} n_1 + \delta_{2k} n_2) \frac{n_3}{r} \right.$$

$$\left. + \left( (b + \rho) + (a + b - \rho)n_3^2 - \frac{(a + 2b)}{z_1 z_2} \right) \frac{\delta_{3k}}{4\pi r} \right\}$$

$$\equiv \Phi(n_3^2) \frac{n_3 n_\beta \delta_{\beta k}}{4\pi r} + F(n_3^2) \frac{\delta_{3k}}{4\pi r}, \quad (24)$$

(здесь  $n_1 = \sin \theta \cos \varphi$ ;  $n_2 = \sin \theta \sin \varphi$ ;  $n_3 = \cos \theta$  — компоненты единичного вектора  $\mathbf{n} = \mathbf{r}/r$ ;  $z_{1,2}$  — корни биквадратного уравнения, лежащие в верхней полуплоскости комплексной переменной  $z$ ). Аналогичный результат для компонент  $G_{\alpha k}(\mathbf{r})$  ( $\alpha = 1, 2$ ) сложнее

$$G_{\alpha k}(\mathbf{r}) = \left[ \frac{2i}{(z_1+z_2)} \frac{R(n_3^2)}{bA(n_3^2)} - \frac{bn_3^2}{\sqrt{bP(n_3^2)(b+\rho)(1-n_3^2)}} \right] \frac{\delta_{\alpha k}}{4\pi r} - \left[ \frac{2i}{(z_1+z_2)} \frac{S(n_3^2)}{(1-n_3^2)bA(n_3^2)} - \frac{P(n_3^2)+bn_3^2}{\sqrt{bP(n_3^2)(b+\rho)(1-n_3^2)^2}} \right] \times \frac{(\delta_{1k}n_1 + \delta_{2k}n_2)n_\alpha}{4\pi r} + \frac{2i}{(z_1+z_2)} \frac{a+b+\chi+\rho}{A(n_3^2)} \frac{n_\alpha n_3}{4\pi r} \delta_{3k} \equiv N(n_3^2) \frac{\delta_{\alpha k}}{4\pi r} - M(n_3^2) \frac{n_\alpha n_\beta \delta_{\beta k}}{4\pi r} + \Phi(n_3^2) \frac{n_\alpha n_3 \delta_{3k}}{4\pi r}, \quad (25)$$

а функции  $R(n_3^2)$  и  $S(n_3^2)$  даются следующими выражениями

$$R = \frac{(a+b)(b+\rho)}{z_1 z_2} - \frac{A(n_3^2)P(n_3^2)}{2(b+\rho)(1-n_3^2)} \left( z_1 z_2 - \frac{b}{P} \right); \quad z_1 z_2 = -\sqrt{\frac{2k}{A(n_3^2)}}; \quad (26)$$

$$S = (a+b)(b+\rho) \left[ \frac{1}{z_1 z_2} + n_3^2 \right] - \frac{A(n_3^2)P(n_3^2)}{2(b+\rho)(1-n_3^2)} \times \left[ \left( z_1 z_2 - \frac{b}{P} \right) + \left( z_1^2 z_2^2 + \frac{b}{P} \left[ z_1 z_2 - \frac{2B}{A} \right] \right) n_3^2 \right].$$

Удобство такой формы записи ТФГ заключается в предельной простоте перехода к изотропии. Положим  $\gamma = \chi = \rho = 0$ . Тогда  $m = l = 0$ ,  $A = B = 2k$ ,  $P = b$ ,  $k = b(a+2b)$ , биквадратное уравнение (22) становится тривиальным:  $[z^2 + 1]^2 = 0$ , откуда следует, что  $z_1 = z_2 = i$ . В результате из (24), (25) имеем выражения

$$G_{3k}(\mathbf{r}) = \frac{1}{8\pi b} \frac{a+b}{a+2b} \times \left[ (\delta_{1k}n_1 + \delta_{2k}n_2)n_3 + \left( \frac{a+3b}{a+b} + n_3^2 \right) \delta_{3k} \right] \frac{1}{r}, \quad (27)$$

$$G_{\alpha k}(\mathbf{r}) = \frac{1}{8\pi b} \frac{a+b}{a+2b} \times \left[ \frac{a+3b}{a+b} \delta_{\alpha k} + (\delta_{1k}n_1 + \delta_{2k}n_2)n_\alpha + n_\alpha n_3 \delta_{3k} \right] \frac{1}{r}, \quad (28)$$

которые легко сворачиваются в одно

$$G_{ik}(\mathbf{r}) = \frac{1}{8\pi b} \frac{a+b}{a+2b} \left[ \frac{a+3b}{a+b} \delta_{ik} + n_i n_k \right] \frac{1}{r}, \quad (29)$$

соответствующее изотропной упругой среде ( $a \rightarrow \lambda$ ;  $b \rightarrow \mu$ , где  $\lambda$  и  $\mu$  — коэффициенты Ламэ). Отметим,

что подобные попытки универсальной записи ТФГ гексагональных сред предпринимались и ранее [11], однако, как указано в статье [12] ТФГ в выражении Пан-Чоу не верна для компонент смещений, вызванных силой, параллельной плоскости изотропии.

В работах [13,14] приведены экспериментальные и расчетные значения упругих модулей практически всех ГПУ металлов. Анализ этих данных (в пересчете на Мбар) показывает, что для всех них имеют место неравенства  $k = C_{11}C_{44} > 0$ ,  $A(\theta) > 0$ ,  $B(\theta) > 0$ ,  $P(\theta) > 0$  для любого значения угла  $\theta$ . Поэтому, нужный корень квадратного уравнения  $z_3$  очевиден:  $z_3 = i\sqrt{b/P}$  и формула (25) написана уже с учетом его явного вида. А в (24) он вообще вклада не дает. Зависимость от угла  $\theta$  у коэффициентов  $A(\theta)$ ,  $B(\theta)$ ,  $P(\theta)$ , входит посредством  $\sin^2 \theta = 1 - n_3^2$ , поэтому в (24), (25) в качестве аргумента фигурирует  $n_3^2$ . Что касается корней биквадратного уравнения  $z_{1,2}$ , то их явные выражения зависят от знака дискриминанта  $D = B^2 - 2Ak$  или от соотношений между упругими модулями конкретного материала. Комбинация же  $z_1 z_2 = -(2k/A)^{1/2}$  универсальна, а знак минус следует из перехода к изотропии  $z_1 z_2 \rightarrow -1$ . Таким образом, единственное место, где нужны явные выражения  $z_1 z_2$ , это отношение  $2i/(z_1 + z_2)$ . При  $D > 0$ , искомые полюса чисто мнимые и компактно могут быть записаны в виде

$$z_{1,2} = i\sqrt{p_{1,2}(n_3^2)/A(n_3^2)},$$

$$p_{1,2} = B \pm \sqrt{B^2 - 2Ak} = 2k + (l \pm \sqrt{l^2 + 4km})(1 - n_3^2). \quad (30)$$

Эта ситуация реализуется у Zr, Mg, Co, Ti, Hf, Y, Sc, Tl, Tc, Ru, Re, Os; для них  $l, m > 0$ , так что  $p_{1,2}(n_3 > 0)$  для любого значения  $\theta$ . Для Zn, Cd и Be дискриминант отрицательный  $D < 0$ , а искомые полюса имеют вид

$$z_{1,2}(n_3^2) = \mp \frac{1}{\sqrt{2}} \left( \sqrt{\frac{2k}{A(n_3^2)}} - \frac{B(n_3^2)}{A(n_3^2)} \right)^{1/2} + \frac{i}{\sqrt{2}} \left( \sqrt{\frac{2k}{A(n_3^2)}} + \frac{B(n_3^2)}{A(n_3^2)} \right)^{1/2}. \quad (31)$$

Отметим, что в обоих случаях комбинация  $2i/(z_1 + z_2)$  вещественна, а сами  $z_{1,2}$  являются функциями только  $n_3^2$ .

Теперь вернемся к нашей краевой дислокационной петле  $\mathbf{b} = (0, 0, b^D)$ ,  $\mathbf{n}^D = (0, 0, 1)$ . Формула для смещений (6) принимает вид

$$u_i^D(\mathbf{r}) = b^D \int_{S_D} d^2 r' [C_{13} G_{i\alpha, \alpha}(\mathbf{r} - \mathbf{r}') + C_{33} G_{i3, 3}(\mathbf{r} - \mathbf{r}')], \quad a + \chi = C_{13}, \quad a + 2b + \gamma + 2\chi + 4\rho = C_{33} \quad (32)$$

(по индексу  $\alpha = 1, 2$  подразумевается суммирование). Подставляя в (32) компоненты  $G_{ik}$  из (24), (25), для

компонент смещений  $u_i(\mathbf{r})$  получаем

$$\begin{aligned}
 u_3^D(\mathbf{r}) &= -\frac{b^D}{4\pi} \int_{S_D} d^2r' \frac{\tau_3}{|\mathbf{r}-\mathbf{r}'|^2} \Psi(\tau_3^2), \\
 u_\beta^D(\mathbf{r}) &= \frac{b^D}{4\pi} \int_{S_D} d^2r' \frac{\tau_\beta}{|\mathbf{r}-\mathbf{r}'|^2} Y(\tau_3^2), \\
 \Psi(\tau_3^2) &= C_{13} \left[ (1-3\tau_3^2)\Phi(\tau_3^2) + 2\tau_3^2(1-\tau_3^2) \frac{d\Phi}{d\tau_3^2} \right] \\
 &\quad + C_{33} \left[ F(\tau_3^2) - 2(1-\tau_3^2) \frac{dF}{d\tau_3^2} \right], \\
 Y(\tau_3^2) &= C_{13} \left[ -N(\tau_3^2) - 2\tau_3^2 \frac{dN}{d\tau_3^2} - 3\tau_3^2 M(\tau_3^2) \right. \\
 &\quad \left. + 2\tau_3^2(1-\tau_3^2) \frac{dM}{d\tau_3^2} \right] \\
 &\quad + C_{33} \left[ (1-3\tau_3^2)\Phi(\tau_3^2) + 2\tau_3^2(1-\tau_3^2) \frac{d\Phi}{d\tau_3^2} \right], \quad (33)
 \end{aligned}$$

где функции  $\Phi$  и  $F$  определяются выражениями из формулы (24) для  $G_{3k}$

$$\begin{aligned}
 \Phi(\tau_3^2) &\equiv \frac{2i}{z_1+z_2} \frac{a+b+\chi+\rho}{A(\tau_3^2)}, \\
 F(\tau_3^2) &\equiv \frac{2i}{(z_1+z_2)A(\tau_3^2)} \\
 &\quad \times \left( (b+\rho) + (a+b-\rho)\tau_3^2 - \frac{a+2b}{z_1z_2} \right), \quad (34)
 \end{aligned}$$

а функции  $N$  и  $M$  — выражениями в первой и второй квадратных скобках формулы (25) для  $G_{ak}$  соответственно

$$\begin{aligned}
 N(\tau_3^2) &\equiv \frac{2i}{(z_1+z_2)} \frac{R(\tau_3^2)}{bA(\tau_3^2)} - \frac{b\tau_3^2}{\sqrt{bP(\tau_3^2)}(b+\rho)(1-\tau_3^2)}, \\
 M(\tau_3^2) &\equiv \frac{2i}{(z_1+z_2)} \frac{S(\tau_3^2)}{(1-\tau_3^2)bA(\tau_3^2)} \\
 &\quad - \frac{P(\tau_3^2) + b\tau_3^2}{\sqrt{bP(\tau_3^2)}(b+\rho)(1-\tau_3^2)^2}. \quad (35)
 \end{aligned}$$

Здесь  $\tau_k$  — компоненты единичного вектора  $\boldsymbol{\tau} = (\mathbf{r}-\mathbf{r}')/|\mathbf{r}-\mathbf{r}'|$ , чтобы не путать с аналогичными компонентами вектора  $\mathbf{n} = \mathbf{r}/r$ ;  $z_{1,2}(\tau_3^2)$  — полюса из (30), (31). Также учтено очевидное равенство  $\sum_k \tau_k^2 = 1$  и простое правило дифференцирования  $\frac{\partial f(\tau_3^2)}{\partial x_k} = 2 \frac{\tau_k}{|\mathbf{r}-\mathbf{r}'|} [\delta_{3k} - \tau_3\tau_k] \frac{df}{d\tau_3^2}$ . Обратим внимание, что переменная  $x'_3$  в компоненте  $\tau_3$  отсутствует, поскольку петля лежит в плоскости  $x'_3 = 0$ .

Зная поле смещений, легко найти поле деформаций  $u_{ij}^D$ . Так,

$$\begin{aligned}
 u_{33}^D(\mathbf{r}) &= -\frac{b^D}{4\pi} \\
 &\quad \times \int_{S_D} \frac{d^2r'}{|\mathbf{r}-\mathbf{r}'|^3} \left[ (1-3\tau_3^2)\Psi(\tau_3^2) + 2\tau_3^2(1-\tau_3^2) \frac{d\Psi}{d\tau_3^2} \right], \\
 u_{\beta\gamma}^D(\mathbf{r}) &= \frac{b^D}{4\pi} \int_{S_D} \frac{d^2r'}{|\mathbf{r}-\mathbf{r}'|^3} \\
 &\quad \times \left[ (\delta_{\beta\gamma} - 3\tau_\beta\tau_\gamma)Y(\tau_3^2) - 2\tau_3^2\tau_\beta\tau_\gamma \frac{dY}{d\tau_3^2} \right], \quad \beta, \gamma = 1, 2.
 \end{aligned} \quad (36)$$

И тогда

$$\begin{aligned}
 \text{Spr}u_{ij}^D &= -\frac{b^D}{4\pi} \int_{S_D} \frac{d^2r'}{|\mathbf{r}-\mathbf{r}'|^3} \left[ (1-3\tau_3^2) \left\{ \Psi(\tau_3^2) + Y(\tau_3^2) \right\} \right. \\
 &\quad \left. + 2\tau_3^2(1-\tau_3^2) \frac{d}{d\tau_3^2} \left\{ \Psi(\tau_3^2) + Y(\tau_3^2) \right\} \right]. \quad (37)
 \end{aligned}$$

Переход к изотропному приближению тривиален

$$\begin{aligned}
 \left\{ \Psi(\tau_3^2) + Y(\tau_3^2) \right\} &\rightarrow \frac{2b}{a+2b}, \\
 \text{Spr}u_{ij}^D &\rightarrow -\frac{b^D}{4\pi} \frac{2b}{a+2b} \int_{S_D} \frac{d^2r'}{|\mathbf{r}-\mathbf{r}'|^3} (1-3\tau_3^2). \quad (38)
 \end{aligned}$$

Подставляя (37) в (5), получаем искомую энергию упругого взаимодействия данной краевой петли с центром дилатации (ТД), расположенным в точке наблюдения  $\mathbf{r}$ . При этом модуль всестороннего сжатия  $K$  в (5) надо заменить усредненным  $K^{\text{hex}} = \lambda^{\text{hex}} + \frac{2}{3}\mu^{\text{hex}}$ , который конструируется из модулей гексагонального кристалла. Следуя, например, Фогту [5]  $\lambda = \frac{1}{15}(2C_{iijj} - C_{ijij})$ ,  $\mu = \frac{1}{30}(3C_{ijij} - C_{iijj})$ , имеем

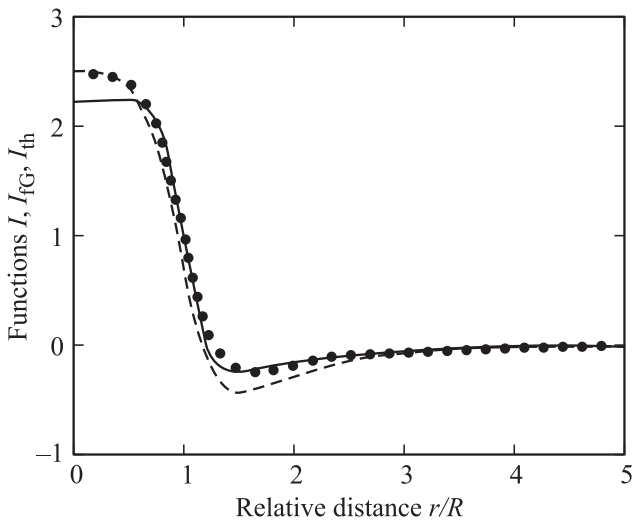
$$E_{\text{int}}(\mathbf{r}) = -K^{\text{hex}} \Delta V \text{Spr}u_{ij}^D(\mathbf{r}),$$

$$\lambda^{\text{hex}} = a + \frac{1}{15}(\gamma + 10\chi), \quad \mu^{\text{hex}} = b + \frac{1}{15}(\gamma + 10\rho). \quad (39)$$

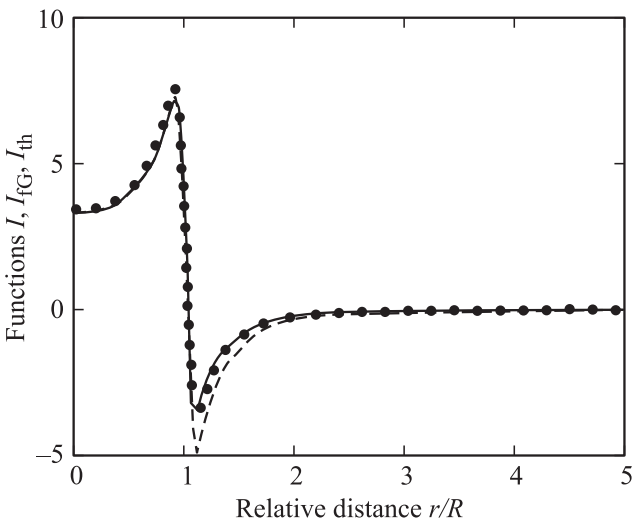
Таким образом, аналитика сводится к дифференцированию функций  $\Psi$  и  $Y$  (33) по переменной  $\tau_3^2$  с последующим интегрированием по площади петли. Но, учитывая громоздкость  $\Phi(\tau_3^2)$ ,  $F(\tau_3^2)$ ,  $N(\tau_3^2)$  и  $M(\tau_3^2)$ , выписывать результат для произвольной точки  $\mathbf{r}$  даже в интегральном виде не будем.

Представляется логичным численно сравнить полученный результат (37) с изотропным приближением (12) и (38) для круговой петли. Для этого снова перейдем к безразмерным цилиндрическим координатам  $\rho = r/R$ ;  $\xi = z/R$  и введем следующие обозначения:

$I_{th}(\rho, \xi) = \frac{2\mu^{\text{hex}}}{\lambda^{\text{hex}} + 2\mu^{\text{hex}}} F(\rho, \xi)$  — теоретический результат работы [8] (см. (12)),



**Рис. 3.** Функции  $I$  (сплошная линия согласно (12)),  $I_{fG}$  (пунктирная линия, согласно (13)) и  $I_{th}$  (штриховая линия, согласно (37)) в зависимости от относительного расстояния  $\rho = r/R$  на плоскости  $z = 0.5R$ .



**Рис. 4.** Функции  $I$  (сплошная линия согласно (12)),  $I_{fG}$  (пунктирная линия, согласно (13)) и  $I_{th}$  (штриховая линия согласно (37)) в зависимости от относительного расстояния  $\rho = r/R$  на плоскости  $z = 0.1R$ .

$I_{fG}(\rho, \xi) = \frac{2\mu^{hex}}{\lambda^{hex} + 2\mu^{hex}} H(\rho, \xi)$  — аналогичный результат в методе функций Грина (13),

$I(\rho, \xi) = - \int_0^1 \rho' d\rho' \int_0^{2\pi} \frac{d\varphi'}{|\mathbf{r} - \mathbf{r}'|^3} Q(\rho, \xi, \rho', \varphi, \varphi')$  — полученный выше результат (37), где буквой  $Q$  обозначена подынтегральная функция переменной  $\tau_3^2$  в (37);  $\tau_3^2 = \xi^2 / |\mathbf{r} - \mathbf{r}'|^2$ , а  $|\mathbf{r} - \mathbf{r}'|^2 = \rho^2 + \xi^2 - 2\rho\rho' \cos(\varphi - \varphi') + \rho'^2$ . При этом  $Spr_{ij}^D = \frac{b^D}{4\pi R} I(\rho, \xi)$ , и не зависит от угла  $\varphi$  (в силу изотропии в базисной плоско-

сти). Численные оценки были проведены применительно к цирконию. Экспериментальные значения его упругих модулей, согласно [14], следующие (Mbar):  $C_{11} = 1.554$ ;  $C_{12} = 0.672$ ;  $C_{13} = 0.646$ ;  $C_{33} = 1.725$ ;  $C_{55} = C_{44} = 0.363$ . Результаты сравнения представлены на рис. 3, 4. На них приведены кривые зависимости функций  $I$ ,  $I_{fG}$ ,  $I_{th}$  от относительного расстояния  $\rho$  для двух плоскостей  $z = 0.5R$  и  $z = 0.1R$ . Видно, что вклад анизотропии вдоль  $c$ -оси циркония в искомую энергию взаимодействия несущественный (по крайней мере для Zr) и что аналитическая формула (12) вполне приемлема для дальнейших применений.

### 5. Результаты и их обсуждение

Целью работы был расчет энергии упругого взаимодействия центра дилатации с краевой дислокационной петлей, расположенной в базисной плоскости кристалла гексагональной сингонии с использованием тензорной функции Грина упругой среды, моделирующей кристалл (формулы (5), (6)). Для этого формула (6) сначала была „протестирована“ на примере краевой прямолинейной дислокации и краевой петли в изотропной среде. Для них упругое поле рассчитывалось путем решения уравнений равновесия, и результаты в аналитическом виде были хорошо известны. В работе показано, что использование ТФГ дает те же результаты, только в интегральном виде. Так, известные аналитические выражения для поля прямолинейной дислокации получаются из прямоугольной петли в пределе ее бесконечно большого размера, а для круговой петли численное сравнение двойного интеграла (13) дает хорошее согласие с аналитикой (12) (см. рис. 1, 2).

В случае гексагональных кристаллов предложены универсальные выражения для компонент ТФГ, не содержащие неопределенности типа 0/0 при переходе к изотропному приближению (24), (25), и справедливые для любого гексагонального кристалла. Может возникнуть вопрос об их расходимости в пределе  $n_3^2 \rightarrow 1$ . Этот момент не обсуждался в оригинальной работе Лифшица–Розенцвейга. На самом деле никакой расходимости нет. Для определенности рассмотрим кристаллы, у которых полюса  $z_{1,2}$  чисто мнимые (30) (это, например, Zr). Нетрудно показать, что

$$N(n_3^2 \rightarrow 1) \rightarrow - \frac{(a+b)(b+\rho)}{2kb} + \frac{1}{b},$$

$$M(n_3^2 \rightarrow 1) \rightarrow - \frac{(a+b)(b+\rho)}{2kb} \left( 1 + \frac{l}{2k} \right) + \frac{1}{4(b+\rho)} \left( \frac{m}{k} - \frac{\rho^2}{b^2} + \frac{l}{k} \frac{\rho}{b} \right),$$

т.е. с компонентами  $G_{ak}(\mathbf{r})$  все в порядке. Аналогичная картина и с компонентами смещений и деформаций, ко-

торые содержат первые и вторые производные от  $N(n_3^2)$  и  $M(n_3^2)$ . Так, например,

$$\begin{aligned} \frac{dN}{dn_3^2}(n_3^2 \rightarrow 1) &\rightarrow -\frac{(a+b)(b+\rho)}{8bk} \frac{l}{k} \\ &+ \frac{1}{8(b+\rho)} \left[ \frac{m}{k} + 3\frac{\rho^2}{b^2} + \frac{\rho}{b} \left( 4 + \frac{l}{k} \right) \right], \\ \frac{d^2N}{d(n_3^2)^2}(n_3^2 \rightarrow 1) &\rightarrow -\frac{(a+b)(b+\rho)}{8bk} \left( \frac{l^2}{k^2} + \frac{m}{k} \right) \\ &+ \frac{1}{8(b+\rho)} \left[ \frac{ml}{k^2} + 6\frac{\rho^2}{b^2} + 5\frac{\rho^3}{b^3} + \frac{\rho}{b} \left( \frac{l^2}{k^2} + \frac{m}{k} \right) \right]. \end{aligned}$$

Искомый предел для производных от  $M(n_3^2)$  еще более громоздкий, но конечный. Выписывать его мы не будем.

На основе (24), (25) рассчитаны поля смещений (35) и деформаций (36), создаваемые краевой дислокационной петлей, лежащей в базисной плоскости кристалла, а также энергия ее упругого взаимодействия с центром дилатации (38). Например, для инфинитезимальной петли из (35) имеем

$$\begin{aligned} u_3^D(\mathbf{r}) &= -\frac{b^D \delta S_D}{4\pi |\mathbf{r}|^2} n_3 \Psi(n_3^2), \\ u_\beta^D(\mathbf{r}) &= \frac{b^D \delta S_D}{4\pi |\mathbf{r}|^2} n_\beta Y(n_3^2), \quad n_i = r_i / |\mathbf{r}|. \end{aligned}$$

Аналогично из (36) находим поле деформаций, а используя закон Гука

$$\sigma_{33} = (a + \chi) S p u_{ik} + (2b + \gamma + \chi + 4\rho) u_{33},$$

$$\sigma_{\beta\gamma} = (a S p u_{ik} + \chi u_{33}) \delta_{\beta\gamma} + 2b u_{\beta\gamma}, \quad \sigma_{\beta 3} = 2(b + \rho) u_{\beta 3},$$

находим поле напряжений, создаваемое такой дислокационной петлей. При этом для базисной плоскости ( $n_3 = 0$ ) мы автоматически получаем результаты работы [15]. Здесь следует заметить, что задача об упругом взаимодействии инфинитезимальных объектов позднее решалась Уоо в работе [16], однако там ТФГ использовалась в форме Кренера [17]. А поскольку сравнения результатов Уоо с [15] сделано не было, трудно судить, какая из форм ТФГ более предпочтительна.

Применительно к цирконию численно показано (рис. 3, 4), что учет анизотропии практически не влияет на энергию упругого взаимодействия базисной  $s$ -петли с ТД в модели центра дилатации. Поэтому для расчета диффузионных потоков ТД и ее фактора предпочтения можно использовать изотропное приближение и аналитические выражения из работы [8] (формулы (12)).

Таким же образом можно рассмотреть поле напряжений, создаваемое  $a$ -петлей в цирконии ( $\mathbf{b} = 1/3 \langle 11\bar{2}0 \rangle$ ), залегающей в плоскости  $\{11\bar{2}0\}$ . Это — доминирующая форма дислокационных петель при нейтронном облучении. Это совершенные петли, как вакансионные, так и междоузельные по своей природе. Действительно,

выбрав ось  $x_1$  декартовой системы координат по направлению вектора Бюргерса, получим

$$C_{ik11} = \alpha \delta_{jk} + 2b \delta_{j1} \delta_{k1} + \chi \delta_{j3} \delta_{k3},$$

$$u_i^D(\mathbf{r}) = b^D \int_{S_D} d^2 r' [(a + 2b) G_{i1,1} + a G_{i2,2} + (a + \chi) G_{i3,3}].$$

Дальнейшие вычисления полностью аналогичны проделанным выше, но это уже другая задача.

## Список литературы

- [1] В.Ф. Зеленский, И.М. Неклюдов, Т.П. Черняева. Радиационные дефекты и набухание металлов. Наук. думка, Киев (1988). 296 с.
- [2] V.I. Dubinko, S.A. Kotrechko, V.F. Klepikov. Radiat. Eff. Defects Solids. **164**, 647 (2009).
- [3] Дж. Эшелби. Континуальная теория дислокаций. Наука, М. (1963). 215 с.
- [4] Л.Д. Ландау, Е.М. Лифшиц. Теория упругости. Наука, М. (1987). 246 с.
- [5] Дж. Хирт, И. Лоте. Теория дислокаций. Атомиздат, М. (1972). 600 с.
- [6] К. Теодосиу. Упругие модели дефектов в кристаллах. Мир, М. (1985). 352 с.
- [7] T. Mura. Micromechanics of Defects in Solids. Martinus Nijhoff Publishers, Dordrecht. 2nd ed. (1987). 588 с.
- [8] F. Kroupa. Czech. J. Phys. B **10**, 284 (1960).
- [9] И.М. Лифшиц, Л.Н. Розенцвейг. ЖЭТФ **17**, 783 (1947).
- [10] П.Н. Остапчук. ФТТ **55**, 95 (2013).
- [11] Y.C. Pan, T.W. Chou. J. Appl. Mech. **43**, 608 (1976).
- [12] С.А. Кукушкин, А.В. Осипов, Р.С. Телятник. ФТТ **58**, 5, 941 (2016).
- [13] М.А. Баранов, Е.А. Дубов, И.В. Дятлова, Е.В. Черных. ФТТ **46**, 212 (2004).
- [14] L. Fast, J.M. Wills, B. Johansson, O. Eriksson. Phys. Rev. B **51**, 17 431 (1995).
- [15] L. Leychek. Czech. J. Phys. B **19**, 799 (1969).
- [16] M.H. Yoo. Phys. Status Solidi B **61**, 411 (1974).
- [17] E. Kröner. Zeitschrift Physik **136**, 402 (1953).